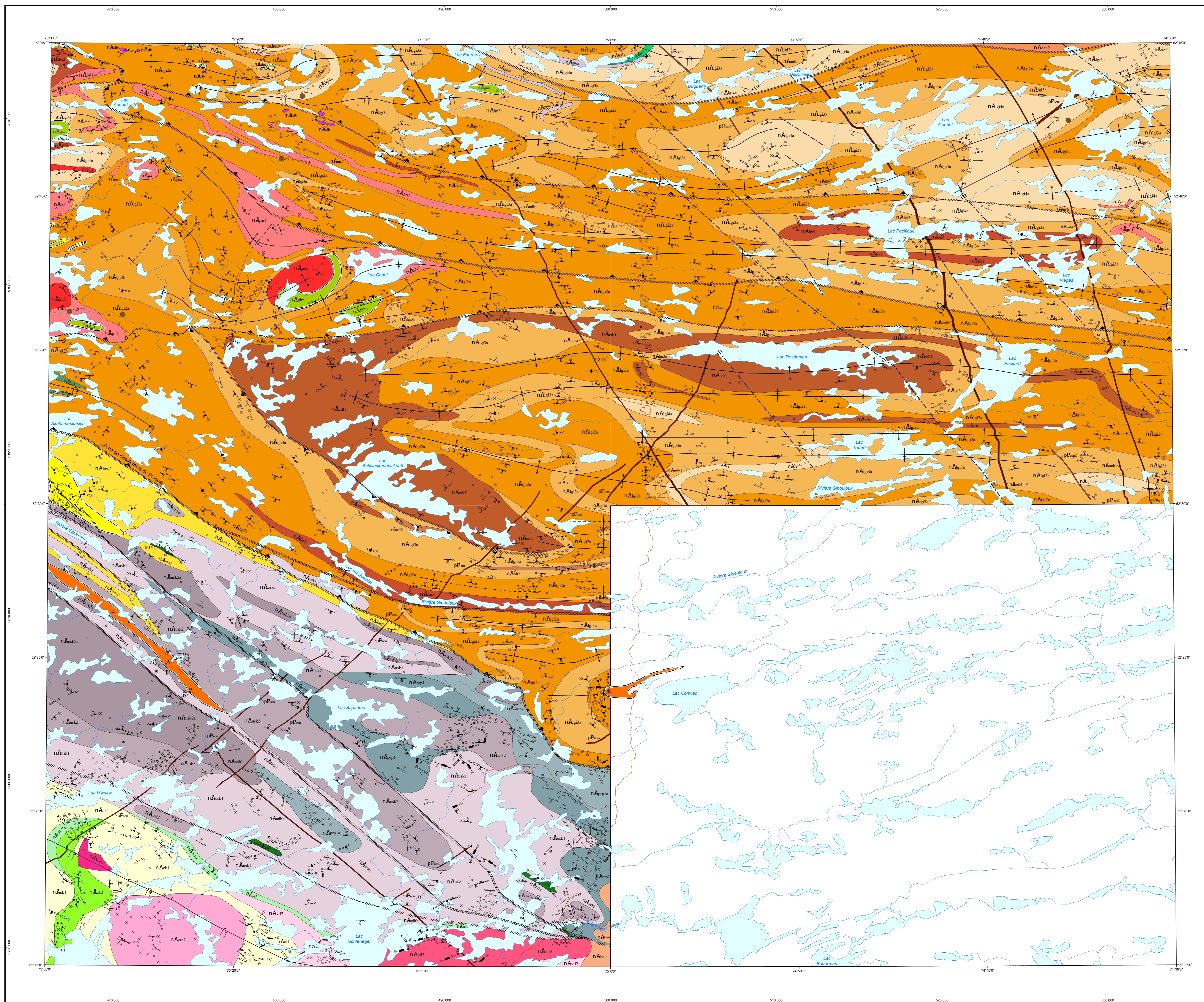


Géologie de la région du lac Cadet, sous-provinces d'Opinaca et de La Grande, Eeyou Istchee Baie-James, Québec, Canada



LÉGENDE STRATIGRAPHIQUE

PROVINCE DU SUPÉRIEUR
PALEOPROTEROZOÏQUE

Dykes de Senneterre (214.3 à 212.4 Ma, Buchan et al., 1992; 211.9 à 214 Ma, Montonen dans Buchan et al., 1996; 2031 à 20 Ma, Davis et al., 2018)
 Dykes de Lac Esprit (2069 à 21 Ma, Hamilton et al., 2001)
 Dykes : gabbro-norite
 Dykes : gabbro-norite

NÉOARCHÉEN
 Essaim de dykes de Mistassini (2515 à 23 Ma, Hamilton, 2009; 2503 à 22 Ma, Davis et al., 2018)
 Dykes : gabbro-norite

SOUS-PROVINCE D'OPINACA

Suite de Lablitz
 nA1011 : Micaschistes à olivine et phlogopite, communément porphyroblastique à orthopyroxène et à orthopyroxène
 nA1012 : Intrusion ultramafique de Glad
 nA1013 : Durite, pyroxénite, péridote et gabbro montrant par endroits un litage magnétique

Suite intrusive d'Opinaca
 nA1021 : Monzonite quartzifère à diorite quartzifère, à magrélite, migmatites, folies, localement orthopyroxène et feldspathique
 nA1022 : Syénite et syénite quartzifère, à biotite-magrélite à hornblende
 nA1023 : Monzonite quartzifère et monzonite quartzifère à hornblende-biotite-magrélite, hornblende, folies et porphyrocyte

Piton de Cadet
 nA1031 : Syénite et syénite quartzifère, à biotite-magrélite à hornblende
 nA1032 : Monzonite quartzifère et monzonite quartzifère à hornblende-biotite-magrélite, hornblende, folies et porphyrocyte

Suite intrusive de Gladman
 nA1041 : Pegmatite granitique à grenat + muscovite + tourmaline

Suite intrusive de Janin
 nA1051 : Granite rose à biotite-magrélite, massif, homogène et à grain moyen
 nA1052 : Granite et granodiorite roses à biotite, massifs, hétérogènes et porphyroblastiques

Complex de Manicoué (2089 à 24 Ma, David, 2018)
 nA1061 : Gneiss tonalitique à biotite à hornblende-magrélite, folie à rubané

Suite de Faron (2710 à 22.4 Ma, Augland et al., 2016)
 nA1071 : Diorite quartzifère et tonalite à biotite-hornblende, à grain fin et folies

Complex de Lagache (2712 à 2640 Ma, Morfin et al., 2011; David, 2019)
 nA1081 : Amphibolite migmatitisée, localement d'origine gabbroïque; diorite migmatitisée
 nA1082 : Diabase dérivée de paragneiss à biotite + grenat, localement à orthopyroxène et amphibole, contenant 10 % de mobilisat
 nA1083 : Micaschistes dérivés de paragneiss à biotite + grenat, localement à orthopyroxène et amphibole, contenant 10 à 50 % de mobilisat
 nA1084 : Paragneiss nodulaire à biotite + hornblende + grenat + cordiérite + sillimanite, contenant moins de 20 % de mobilisat
 nA1085 : Paragneiss dérivés de wacke à biotite + grenat, localement à orthopyroxène et amphibole, contenant 10 % de mobilisat
 nA1086 : Micaschistes localement coussinés

SOUS-PROVINCE DE LA GRANDE

Suite intrusive de Kausikamakatsi
 nA1111 : Granite blanc à grenat + muscovite + biotite

Piton de Clarke
 nA1121 : Granodiorite et pegmatite

Intrusion de Bauerman
 nA1131 : Monzonite quartzifère, granodiorite et tonalite, à hornblende-magrélite

Piton d'Ukakwasia
 nA1141 : Granodiorite et tonalite, à biotite-hornblende-magrélite, folies et porphyrocyte
 nA1142 : Granodiorite à biotite-hornblende-magrélite, hétérogène

Batolite de Village (2720 à 2677 à 2671 à 2671 Ma, Mouchal, 2000)
 nA1151 : Tonalite à biotite et granodiorite à biotite, à grain fin, folies
 nA1152 : Monzogranite à grain moyen et pegmatite
 nA1153 : Granodiorite avec 15% d'enclosures de paragneiss à biotite

Groupes d'Estmain
 Formation de Prosper
 nA1161 : Paragneiss dérivés de wacke rubané, à biotite-hornblende + grenat + cordiérite
 nA1162 : Micaschistes dérivés de paragneiss, à biotite-hornblende + grenat + cordiérite

Formation de Lévesque (2702 à 23 Ma, Beauville et al., 2016)
 nA1171 : Wacke et paragneiss dérivés de wacke, à biotite + cordiérite
 nA1172 : Conglomérat et niveaux de grès

Formation de Clarke
 nA1181 : Tuf à lapilles et à blocs
 nA1182 : Arénite, wacke et conglomérat polygénique

Formation de Nade (2730 à 25 Ma, Mouchal, 2001)
 nA1191 : Basalte tholéitique amphibolisée
 nA1192 : Amphibolite dérivée de roches volcaniques

LÉGENDE LITHOLOGIQUE

ARCHÉEN

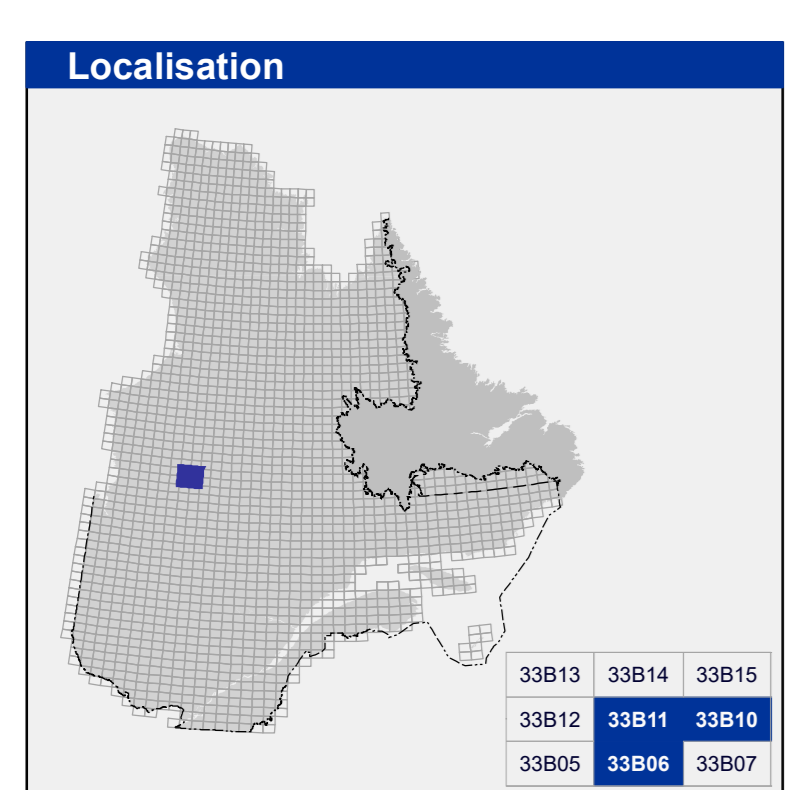
Diorite migmatitisée
 Roche intrusive ultramafique
 Amphibolite

ZONE FAVORABLE À L'EXPLORATION MINÉRIE

Cuivre
 Lithium
 Or

INDICE ET GÎTE

Cuivre, or, thorium, uranium



Métadonnées

Surface de référence géodésique :	Élipsoïde GRS 80
Système de référence géodésique :	NAD 83 compatible avec le système mondial WGS 84
Projection cartographique :	Mericauto transverse universelle (MTU), fuseau 18
Longitude d'origine :	75°00'
Latitude d'origine :	0°

Sources

Données	Organisme
Base de données topographiques et administratives (BDTA, 2004)	Ministère des Ressources naturelles et des Forêts

Réalisation

Géologie :	Myriam Côté-Roberge, William Charrier-Montreuil (2022)
Références :	Berthouyère, D. et al. (2010) – RG 2010-02 Côté-Roberge, M., Gauthier, J. (2019) – RG 2019-05 Côté-Roberge, M. et al. (2021) – RG 2022-05 Gauthier, C. (2018) – GM 71048 Mouchal, A., Doucet, P. (1999) – RG 99-04 Simard, M., Gosselin, C. (1999) – RG 99-15
Assistance technique :	Julie Sauvageau
Production :	Ministère des Ressources naturelles et des Forêts Direction générale de Géologie Québec
Diffusion :	Ministère des Ressources naturelles et des Forêts Direction de l'information géologique et de la promotion

Le présent document n'a aucune portée légale
 © Gouvernement du Québec, 2^e trimestre 2023

BG 2023-07-C01

Carte du Bulletin géologique : <http://gq.mines.gouv.qc.ca/bulletin-geologique/2023-07-c01>

Pour obtenir les données les plus récentes concernant cette région, nous vous suggérons de consulter les produits géomatiques du Système d'information géométrique du Québec (SIGÉOM).

